



مدلسازی دینامیکی سیستم تبرید جذب سطحی خورشیدی

سیدعلی بهبهانی نیا^{۱*}، مهسا صیفی کار^۲

۱- استادیار مهندسی مکانیک، دانشگاه صنعتی خواجه نصیر طوسی، تهران
۲- دانشجوی کارشناسی ارشد مهندسی مکانیک، دانشگاه صنعتی خواجه نصیر طوسی، تهران
* تهران، صندوق پستی ۱۹۳۹۵-۱۹۹۹، alibehbahania@kntu.ac.ir

چکیده- در این مقاله، یک مدل متغیر با زمان، برای شبیه‌سازی عملکرد یک سیستم سرمایش جذب سطحی خورشیدی، ارائه می‌شود. به کمک مدل به دست آمده، عملکرد یک سیستم نمونه برای شرایط شهر اهواز شبیه‌سازی می‌شود. این سیستم برای خنک کردن یک فضای اداری برای ساعات کاری ۸ صبح تا ۶ بعد از ظهر به کار می‌رود و در آن از یک چیلر جذب سطحی سیلیکاژل-آب با دو محفظه جذب، ۵۵ متر مربع کلکتور تخت، منبع ذخیره‌ای با حجم ۲۷۵۰ لیتر و یک گرم‌کن کمکی استفاده می‌شود. نتایج مدلسازی عبارت‌اند از: پروفیل دمای آب گرم، آب سرد و آب خنک‌کن خروجی چیلر، دمای آب گرم خروجی از کلکتورها، میزان مصرف سوخت هیتر کمکی و کسر خورشیدی سیستم که کلیه این موارد متغیر با زمان هستند. علاوه بر مدلسازی سیستم، تاثیر تغییرات پارامترهای مختلف کارکرد، از جمله دمای آب گرم ورودی و زمان سیکل کاری چیلر در ضریب عملکرد و توان تبرید چیلر جذب سطحی، کسر خورشیدی و سوخت مصرفی کل سیستم بررسی می‌شود. نتایج نشان می‌دهد افزایش زمان سیکل موجب افزایش ضریب عملکرد، کاهش توان تبرید، کاهش حرارت تامین شده توسط گرم‌کن کمکی و نتیجتاً افزایش کسر خورشیدی می‌شود.

کلیدواژه‌گان: تبرید، جذب سطحی، سیلیکاژل، انرژی خورشیدی

Study of the performance of a solar adsorption cooling system

A. Behbahania^{1*}, M. Sayfekar²

1- Assis. Prof., Mech. Eng., K. N. Toosi Univ. of Tech., Tehran, Iran
2- MSc. Student, Mech. Eng., K. N. Toosi Univ. of Tech., Tehran, Iran
* P. O. B. 1999-19395 Tehran, alibehbahania@kntu.ac.ir

Abstract- This article presents a transient model of a solar adsorption cooling system. A computer program is developed to simulate the operation of a two-bed silica gel- water adsorption cooling system as well as flat plate collectors and the hot water storage tank. This program is then utilized to simulate the performance of a sample solar adsorption cooling system used for cooling a set of rooms that comprises an area of 52 m² located in Ahwaz city in Iran. The results include the temperature profiles of hot, cooling and chilled water in addition to adsorption/desorption beds, evaporator and condenser, collector hot water temperature, auxiliary heater fuel consumption and solar fraction of the system. Furthermore, the effect of the cycle time on COP (coefficient of performance), refrigeration capacity, fuel consumption and solar fraction is studied. The results show that the cycle time increases COP and SF of the cycle but decreases cooling capacity and supplementary heater fuel consumption.

Keywords: Refrigeration, Adsorption, Silica Gel, Solar Energy

۱- مقدمه

از جمله مهم‌ترین کاربردهای انرژی خورشیدی می‌توان به سرمایه‌گذاری خورشیدی اشاره کرد. معمولاً در مناطقی که از مقادیر بالای تابش خورشید بهره می‌برند، نیاز سرمایه‌گذاری از سایر مناطق بیشتر است. بنابراین استفاده از حرارت حاصل از تابش خورشید در تولید سرمایه‌گذاری در چنین مناطقی می‌تواند مزایای اقتصادی بسیاری به همراه داشته باشد. تولید سرمایه‌گذاری از حرارت، غالباً توسط سیکل‌های جذبی^۱ صورت می‌گیرد که سیکل‌های تبرید جذب سطحی^۲ و جذبی^۳ از این نوع هستند. در سیکل‌های جذبی، فرایند جذب بین سیال مبرد و سیال جاذب صورت می‌گیرد، در حالی که در جذب سطحی یک فرایند جذب بین سیال مبرد و سطح ماده جاذب، که به صورت جامد است، صورت می‌گیرد. سیکل جذب سطحی به طور کلی از نظر نحوه عملکرد با سیکل جذبی تفاوت‌های عمده‌ای دارد. مزیت عمده سیکل تبرید جذب سطحی نسبت به سیکل جذبی، قابلیت کارکرد با منابع حرارتی دمایی است. این موضوع امکان استفاده از منابعی مانند انرژی خورشیدی و حرارت بازیافتی را در سیکل‌های تبرید جذب سطحی فراهم می‌کند. همچنین، در سیکل‌های جذب سطحی برخلاف سیکل‌های جذبی، نیازی به استفاده از پمپ وجود ندارد، زیرا فرایند جذب بین ماده جامد و مبرد صورت می‌گیرد و انتقال مبرد نیز فقط با گرادیان حرارتی صورت می‌گیرد. البته، علی‌رغم دارا بودن مزایای فوق، ضریب کارکرد سیستم‌های تبرید جذب سطحی از سیستم‌های جذبی پایین‌تر است و همین مسئله موجب کندی روند تجاری‌شدن این نوع چیلرها شده است.

در سیستم‌های جذب سطحی از جاذب-مبردهای مختلفی استفاده می‌شود که از آن جمله می‌توان به کربن فعال-اتانول، سیلیکاژل-آب و زئولیت-آب اشاره نمود. از بین این موارد، سیلیکاژل-آب رایج‌ترین گزینه در سیستم‌های تهویه مطبوع است. سیلیکاژل نسبت به سایر مواد جاذب قابلیت احیاشدن^۴ در دماهای پایین‌تری دارد (کمتر از ۱۰۰ درجه تا حدود ۵۵ درجه) و به همین دلیل برای استفاده در سیستم‌های سرمایه‌گذاری

1. Sorption
2. Adsorption
3. Absorption
4. Desorption

که از انرژی خورشیدی استفاده می‌کنند گزینه مناسبی محسوب می‌شود. همچنین، قابلیت جذب سطحی سیلیکاژل نسبتاً بالاست و می‌تواند، حدود ۴۰ درصد جرم خود، آب جذب نماید. در سه دهه اخیر، تحقیقات بسیاری در مورد مدلسازی دینامیکی چیلرهای جذب سطحی انجام شده است. از آن جمله، ساها[۱] یک سیستم تبرید جذب سطحی کربن فعال-اتانول با دو محفظه جذب را مدلسازی کرده و نشان داد پس از گذشت سه نیم‌سیکل تاثیر شرایط اولیه در عملکرد سیستم از بین می‌رود. لیته و همکاران[۲] معادلات کارکرد یک چیلر جذب سطحی دو محفظه‌ای کربن فعال-متانول را استخراج کرده و یک چیلر نمونه با ظرفیت تبرید ۲۰ کیلووات، برای سرمایه‌گذاری فضایی برابر ۱۱۰ متر مربع، به مدت ۸ ساعت در روز را طراحی نمودند. وانگ و همکاران[۳] نیز یک چیلر سیلیکاژل-آب دو محفظه‌ای را طراحی و مدلسازی نمودند که از یک لوله حرارتی^۵ به عنوان اواپراتور در آن استفاده می‌شد و به منظور بهبود عملکرد سیستم، یک مرحله بازیافت جرم نیز به آن افزوده شده بود. ضریب عملکرد (COP)^۶ این سیستم، زمانی که با منبع حرارتی با دمایی برابر ۶۵°C کار می‌کرد، بیش از ۰/۵ و توان تبرید آن حدود ۱۰ کیلووات بود. چوآ[۴]، علاوه بر مدلسازی دینامیکی یک چیلر جذب سطحی دو محفظه‌ای سیلیکاژل-آب، تاثیر شرایط اولیه مختلف را در مدل‌سازی سیستم بررسی نمود و نشان داد شرایط اولیه در نتایج نهایی محاسبات بی‌تاثیر است. وی همچنین اثرات افزایش زمان جابه‌جایی^۷ بین محفظه‌ها و زمان سیکل را بر ضریب عملکرد سیستم بررسی نمود. از جمله تحقیقاتی که در زمینه سیستم‌های تبرید جذب سطحی خورشیدی تاکنون انجام شده است، می‌توان به تحقیقات ارائه‌شده در مراجع [۵] تا [۷] در مورد یخچال‌های جذب سطحی، [۸] تا [۱۰] در مورد سیستم‌های تهویه مطبوع جذب سطحی و [۱۱] تا [۱۳] در مورد یخ‌سازهای جذب سطحی اشاره نمود. کلیه این نمونه‌ها سیستم‌هایی هستند که تنها قادر به تولید سرمایه‌گذاری به صورت متناوب بوده و دارای یک محفظه جذب هستند و از کلکتور خورشیدی به عنوان محفظه جذب استفاده می‌کنند. استفاده از کلکتور به عنوان محفظه جذب موجب تضعیف انتقال جرم و

5. Heat pipe

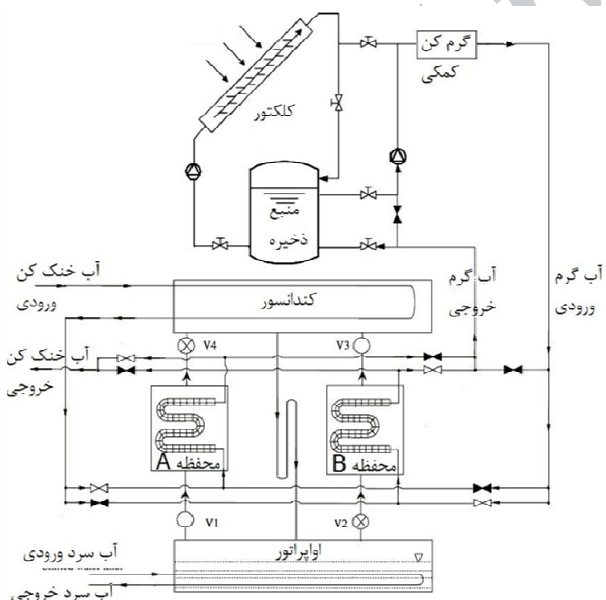
6. Coefficient Of Performance

7. Switch

نرم افزار متلب تهیه شده و نتایج به دست آمده از این کد برای یک سیستم نمونه در شهر اهواز ارائه شده است. به کمک نتایج، تأثیر تغییرات پارامترهای کارکرد چیلر جذب سطحی از جمله دمای آب گرم و زمان سیکل بر ضریب عملکرد، توان تبرید چیلر، کسر خورشیدی و میزان مصرف سوخت سیستم بررسی شده است.

۲- عملکرد چیلر

شکل ۱ سیستم تبرید در دست بررسی را نشان می‌دهد. این سیستم را می‌توان به دو بخش عمده تقسیم‌بندی نمود: یک چیلر جذب سطحی دو محفظه‌ای سیلیکاژل-آب و یک سیستم تامین آب گرم مورد نیاز چیلر. بخش تامین آب گرم سیستم شامل کلکتورهای خورشیدی، مخزن ذخیره آب گرم و یک گرم‌کن کمکی است. چیلر جذب سطحی نیز شامل دو محفظه جذب، یک کندانسور و یک اواپراتور است. محفظه‌های جذب مبدل‌های حرارتی لوله-لوله-پره‌ای هستند که فواصل بین پره‌ها از جاذب سیلیکاژل پر شده است. از دو مبدل پوسته لوله نیز به عنوان اواپراتور و کندانسور استفاده شده است که به کمک یک لوله U شکل به هم متصل هستند [۱۵]. در این بخش نحوه عملکرد چیلر شرح داده می‌شود.



شکل ۱ سیستم تبرید جذب سطحی خورشیدی

به طور کلی، عملکرد چیلر جذب سطحی دو محفظه‌ای، از ۴ مرحله A، B، C و D تشکیل شده است.

حرارت و نتیجتاً پایین بودن ضریب عملکرد این سیستم‌ها می‌شود. به همین دلیل، امکان استفاده از چنین سیستم‌هایی در عمل وجود ندارد. در زمینه سیستم‌های تبرید جذب سطحی خورشیدی با قابلیت تولید سرمایش پیوسته، تاکنون تحقیقات کمتری صورت گرفته است. از جمله کسانی که تحقیقاتی در این مورد انجام داده است، جینگ‌ی [۱۴] است که یک سیستم جذب سطحی خورشیدی با سرمایش پیوسته را مدلسازی نمود. سیستم‌های سرمایش جذب سطحی پیوسته، بر خلاف سیستم‌های جذبی، کارکرد یکنواخت^۱ نداشته و عملکردی متغیر با زمان^۲ دارند. از طرف دیگر، به دلیل متغیر بودن تابش خورشید در ساعات مختلف در طول روز و همچنین در روزهای مختلف، عملکرد سیستم‌های خورشیدی باید به صورت متغیر با زمان مدلسازی شود تا نتایج از دقت کافی برخوردار باشند. بنابراین عملکرد سیستم‌های سرمایش جذب سطحی خورشیدی در اثر متغیر بودن دو عامل، به شدت وابسته به زمان است: (۱) عملکرد چیلر جذب سطحی و (۲) تابش خورشید. در مطالعاتی که تاکنون در زمینه مدلسازی این نوع سیستم‌ها از جمله [۱۴] انجام گرفته است، یکی از این دو عامل برابر یک مقدار متوسط فرض شده و تنها تغییرات یک عامل متغیر، در عملکرد سیستم، لحاظ شده است. این مسئله منجر به پایین آمدن دقت نتایج به دست آمده می‌شود. علاوه بر این موضوع، مطالعات انجام شده بر روی سیستم‌های جذب سطحی خورشیدی تاکنون همواره محدود به سیستم‌های صرفاً خورشیدی بوده که از منبع سوخت جایگزینی برای مواقع کاهش تابش خورشید استفاده نمی‌کنند. همین عامل موجب می‌شود استفاده از این سیستم‌ها در شب و یا مواقع کاهش تابش خورشید امکان‌پذیر نباشد.

در این مقاله، یک سیستم جذب سطحی خورشیدی با تولید سرمایش پیوسته، به صورت دینامیکی، مدلسازی می‌شود. این سیستم شامل یک چیلر سیلیکاژل-آب با دو محفظه جذب، کلکتورهای تخت، مخزن ذخیره آب گرم و گرم‌کن کمکی است. مدل ارائه شده تغییرات کارکرد چیلر جذب سطحی و تغییرات در مقدار تابش خورشید در طول هر روز و در روزهای مختلف را در محاسبات اعمال نموده و عملکرد کل سیستم را به صورت دینامیکی و در شرایط آب و هوایی مختص شهر اهواز شبیه‌سازی می‌کند. برای این منظور، یک کد کامپیوتری در

1. Steady state
2. Transient

۳- مدلسازی چیلر

۳-۱- روابط جذب سطحی

ایزوترم استفاده شده در این مدل برای محاسبه x تعادلی توسط بولمن [۱۶] پیشنهاد شده است که به صورت رابطه (۱) بیان می شود.

$$x^* = 0.346 \left(\frac{P_s(T_w)}{P_s(T_s)} \right)^{1/1.6} \quad (1)$$

$P_s(T_w)$ و $P_s(T_w)$ به ترتیب فشار بخار اشباع مبرد در دمای T_w (بخار آب) و T_s (جاذب) است. فشار بخار اشباع از رابطه (۲) به دست می آید:

$$P_s = 0.0000888(T - 273.15)^3 - 0.0013802(T - 273.15)^2 + 0.0857427(T - 273.15) + 0.4709375 \quad (2)$$

نرخ جذب و احیا نیز از رابطه نیروی رانش خطی (LDF)^۴ پیروی می کند [۱].

$$\frac{dx}{dt} = k_s a_v (x^* - x) \quad (3-الف)$$

$$k_s a_v = F_0 \frac{D_s}{R_p^2}, D_s = D_{s0} e^{-E_a/RT} \quad (3-ب)$$

$k_s a_v$ ضریب کلی انتقال جرم است که ضریبی از ثابت زمانی دیفیوژن $\left(\frac{D_s}{R_p^2} \right)$ است. مقدار هر یک از این متغیرها برای سیلیکاژل-آب در جدول ۱ آمده است [۴،۳].

فرضیات:

- در مدلسازی عملکرد چیلر جذب سطحی، دمای جاذب، محفظه جذب و مبرد جذب شده در جاذب یکسان فرض می شود.
- در اواپراتور و کندانسور، دمای مبرد موجود در مبدل ها و بدنه مبدل ها یکسان فرض می شود.
- فشار در محفظه جاذب یکنواخت فرض می شود.
- مقدار حرارت جذب برابر مقدار ثابت 2800 kJ/kg فرض می شود [۴،۳].
- از اختلاف فشار بین محفظه های جذب با اواپراتور و کندانسور در زمان اتصال با هریک از آنها صرف نظر می شود.
- از تلفات حرارتی در محفظه های جذب، اواپراتور و کندانسور صرف نظر می شود.

در مرحله A، شیرهای V1، V2، V3 و V4 بسته هستند. در شروع این مرحله، محفظه ۱ در کمترین دما و محفظه ۲ بالاترین دما قرار دارد. به کمک جریان آب گرم به محفظه ۱ حرارت داده می شود و توسط جریان آب سرد از محفظه ۲ حرارت گرفته می شود. در نتیجه فشار محفظه ۱ افزایش و محفظه ۲ کاهش می یابد. در پایان این مرحله فشار محفظه ۱ به فشار کندانسور و فشار محفظه ۲ به فشار اواپراتور می رسد. فرایند صورت گرفته در محفظه ۱ پیش گرم کردن^۱ و محفظه ۲ پیش سرد کردن^۲ نام دارد. به دلیل اینکه شیرهای اتصال به محفظه ها در این مرحله بسته هستند و جرم مبرد جذب شده در محفظه ها ثابت است، فرایندهای انجام شده در این مرحله در محفظه ها ایزوستریک^۳ محسوب می شود.

در مرحله B شیرهای V1 و V3 بسته و شیرهای V4 و V2 باز هستند. بخار حاصل از تبخیر مبرد در اواپراتور وارد محفظه ۲ شده، در فشار ثابت اواپراتور جذب جاذب شده و حرارت حاصله از فرایند جذب توسط آب سرد از محفظه دفع می شود. در محفظه ۱ جریان آب گرم موجب افزایش دمای محفظه شده و مبرد جذب شده در فشار ثابت کندانسور از جاذب جدا می شود. بخار آزاد شده وارد کندانسور شده و در آنجا تبدیل به مایع می شود. در مرحله C، همانند مرحله A، کلیه شیرهای V1، V2، V3 و V4 بسته می شوند. جریان آب سرد وارد محفظه ۱ و جریان آب گرم وارد محفظه ۲ می شود. فشار محفظه ۱ در اثر کاهش دما پایین آمده و فشار محفظه ۲ در اثر اعمال حرارت افزایش می یابد. به دلیل بسته بودن کلیه شیرهای اتصال به محفظه ها، فرایند انجام شده در این مرحله در هر دو محفظه ایزوستریک فرض می شود. در پایان این مرحله، فشار محفظه ۲ به فشار کندانسور و فشار محفظه ۱ به فشار اواپراتور می رسد.

در مرحله D، نقش محفظه ۱ و ۲ جابه جا می شود و شیرهای V4 و V2 بسته و V3 و V1 باز می شوند. بخار حاصل از تبخیر مبرد در اواپراتور، در محفظه ۱ جذب شده و مبرد جذب شده در محفظه ۲ در اثر اعمال حرارت از جاذب جدا می شود. در طی این مرحله، فشار محفظه ۱ برابر فشار اواپراتور و فشار محفظه ۲ برابر فشار کندانسور می باشد.

1. Pre-heating
2. Pre-cooling
3. Isosteric

4. Linear Driving Force

۳-۲- روابط تعادل انرژی

رابطه تعادل انرژی محفظه جذب در زمان اتصال به کندانسور: در کلیه روابط به دست آمده، برای محاسبه انتالپی مبرد جذب شده از رابطه (۴) استفاده می‌شود [۴].

$$h_{ads}(T, P) = h_g(T, P) - \Delta H_{ads} \quad (4)$$

$$(m_{ad}c_{al} + m_a c_a) \frac{dT}{dt} + m_a x_{des} c_{pw} \frac{dT}{dt} = \phi m_a \Delta H_{ads} \frac{dx_{ads}}{dt} + \dot{m}_{hw} c_{pw} (T_{hw,in} - T_{hw,out}) \quad (5)$$

$$\phi = \begin{cases} 1 & \text{فرایند احیا} \\ 0 & \text{فرایند پیش گرم کردن} \end{cases}$$

طرف چپ رابطه (۵) بیانگر نرخ تغییر انرژی داخلی مبدل، جاذب و مبرد جذب شده است. عبارت اول طرف راست بیانگر حرارت جذب شده در اثر آزاد شدن مبرد (فرایند احیا) و عبارت دوم بیانگر کل حرارت ورودی به محفظه از طریق آب گرم است.

دمای خروجی آب گرم از محفظه جذب به کمک روش LMTD مدل می‌شود و از رابطه زیر به دست می‌آید.

$$\frac{T_{hw,out} - T}{T_{hw,in} - T} = \exp\left(-\frac{UA}{\dot{m}_{hw} c_{pw}}\right) \quad (6)$$

رابطه تعادل انرژی محفظه جذب در زمان اتصال به اواپراتور:

طرف چپ رابطه تعادل انرژی (رابطه ۷) بیانگر نرخ تغییر انرژی داخلی مبدل، جاذب و مبرد جذب شده است. جمله اول طرف راست این رابطه بیانگر حرارت آزاد شده در اثر فرآیند جذب سطحی و جمله دوم بیانگر حرارتی است که صرف گرم شدن بخار ورودی از اواپراتور و رسیدن دمای آن به دمای محفظه می‌شود. جمله سوم سمت راست نیز بیانگر حرارت منتقل شده به آب خنک می‌باشد.

$$(m_{ad}c_{al} + m_a c_a) \frac{dT}{dt} + m_a x_{ads} c_{pw} \frac{dT}{dt} = \delta [m_a \Delta H_{ads} \frac{dx_{ads}}{dt} + m_a c_{pw} \frac{dx_{ads}}{dt} (T_e - T)] + \dot{m}_{cw} c_{pw} (T_{cw,ad,in} - T_{cw,out}) \quad (7)$$

$$\delta = \begin{cases} 1 & \text{فرایند جذب سطحی} \\ 0 & \text{فرایند پیش گرم کردن} \end{cases}$$

رابطه تعادل انرژی اواپراتور:

رابطه تعادل انرژی اواپراتور به تعامل اواپراتور با محفظه‌های جذب و کندانسور بستگی زیادی دارد. در این رابطه، علاوه بر نرخ جذب و دفع در محفظه‌ها، دمای بالای مبرد ورودی از کندانسور نیز تاثیرگذار است.

$$(M_e c_{cu} + M_w(t) c_{pw}) \frac{dT_e}{dt} = -m_a \frac{dx_{ads}}{dt} L - m_a \frac{dx_{des}}{dt} c_{pw} (T_c - T_e) + \dot{m}_{chw} c_{pw} (T_{chw,in} - T_{chw,out}) \quad (8)$$

$$M_w(t) = M_{w0} - m_a x_{ads} - m_a dx_{des} \quad (9)$$

سمت چپ رابطه (۸) تغییرات انرژی داخلی مبرد مایع موجود در اواپراتور و نیز بدنه مبدل را نشان می‌دهد. توجه به این نکته ضروری است که مقدار مبرد موجود در اواپراتور به مقدار مبرد جذب شده در محفظه‌ها بستگی دارد و با زمان تغییر می‌کند. عبارت اول در سمت راست رابطه بیانگر گرمای تبخیر مبرد و عبارت دوم بیانگر حرارت ورودی به اواپراتور در اثر اختلاف دمای کندانسور و اواپراتور است. دمای آب سرد خروجی که محصول اصلی چیلر است به کمک رابطه LMTD به دست می‌آید.

رابطه تعادل انرژی کندانسور:

مدل ریاضی کندانسور بستگی به حالت ترمودینامیکی محفظه جذب در حال احیا دارد. این رابطه به شکل زیر می‌باشد.

$$M_c c_{cu} \frac{dT_c}{dt} = m_a c_{pww} \frac{dx_{ads}}{dt} (T_c - T) - m_a \frac{dx_{des}}{dt} L + \dot{m}_{cw} c_{pw} (T_{cw,in} - T_{cw,out}) \quad (10)$$

عبارت سمت چپ رابطه بیانگر تغییرات انرژی داخلی مبدل کندانسور است. عبارت اول در سمت راست نشان‌دهنده مبرد خروجی از محفظه جذب در حال احیا و عبارت دوم نشانگر مبرد خروجی از کندانسور است. آخرین عبارت حرارت دفع شده از کندانسور توسط آب خنک‌کن را نشان می‌دهد. دمای آب خنک‌کن در خروج از کندانسور نیز از رابطه LMTD به دست می‌آید.

- محاسبه توان تبرید سیکل

به دلیل متناوب بودن دمای آب سرد خروجی از اواپراتور، توان تبرید سیکل نیز به طور متناوب تغییر می‌کند. به همین دلیل،

1. Log Mean Temperature Difference

۴-۱- کلکتورهای خورشیدی

بازده کلکتورها از رابطه هاتل- ویلیر- بلیس^۲ محاسبه می‌شود [۱۷]:

$$\eta = F_R(\tau\alpha) - F_R U_L \frac{(T_{fi} - T_0)}{I_T} \quad (15)$$

بنابراین تعادل حرارتی کلکتورها مطابق رابطه زیر است:

$$\dot{m}_{sc} c_{pw} (T_{out,sc} - T_{in,sc}) = F_R(\tau\alpha) I_T A_c - F_R U_L A_c (T_{fi} - T_0) \quad (16)$$

در مدلسازی سیستم خورشیدی، میزان تابش خورشید روی سطح کلکتور در ساعات مختلف در طول روز برای کل فصل گرما لازم است. برای به‌دست آوردن این مقادیر از اطلاعات ارائه‌شده توسط سازمان هواشناسی ایران [۱۸] استفاده می‌شود. این اطلاعات شامل مقدار متوسط تابش در هر روز روی سطح افقی (H) و ضریب صافی متوسط روزانه آسمان^۳ (K_T) می‌باشد. ضریب صافی آسمان نسبت تابش کل در سطح زمین به تابش کل محاسبه‌شده در خارج از جو زمین بر روی یک سطح صاف است. رابطه متوسط میزان تابش مستقیم روزانه و متوسط تابش کل روزانه توسط رابل، پیرا و کلارس^۴ پیشنهاد شده و مطابق رابطه (۱۷) است [۱۹].

$$\frac{H_d}{H} = \begin{cases} 0.99 & \text{for } K_T \leq 0.17 \\ 1.188 - 2.272K_T + 9.73K_T^2 & \text{for } 0.17 \leq K_T \leq 0.75 \\ -21.865K_T^3 + 14.648K_T^4 & \text{for } 0.75 \leq K_T \leq 0.8 \\ -0.54K_T + 0.632 & \text{for } 0.75 \leq K_T \leq 0.8 \\ 0.2 & \text{for } K_T > 0.8 \end{cases} \quad (17)$$

به کمک روابط (۱۸) تا (۲۳)، مقدار کل تابش در هر ساعت روی سطح افقی و مقدار تابش پراکنده و مستقیم در هر ساعت روی سطح افقی از مقادیر متوسط تابش کل و پراکنده روزانه به‌دست می‌آید [۲۰]:

$$r_t = \frac{I}{H} \quad (18)$$

$$r_t = \frac{\pi}{24} (a + b \cos \omega) \times \frac{\cos \omega - \cos \omega_s}{\sin \omega_s - \pi \frac{\omega_s}{180} \cos \omega_s} \quad (19)$$

$$\begin{aligned} a &= 0.409 + 0.5016 \sin(\omega_s - 60) \\ b &= 0.6609 - 0.4767 \sin(\omega_s - 60) \end{aligned} \quad (20)$$

$$r_d = \frac{I_d}{H_d} \quad (21)$$

برای مشخص کردن توان تبرید به عنوان اصلی‌ترین ویژگی سیستم تبرید جذب سطحی، توان متوسط بر اساس رابطه زیر تعریف می‌شود.

$$\dot{Q}_e = \frac{\int_0^{t_{cycle}} \dot{m}_{chw} c_{pw} (T_{chin} - T_{chout}) dt}{t_{cycle}} \quad (11)$$

- محاسبه ضریب عملکرد سیکل

ضریب عملکرد سیکل تبرید جذب سطحی نسبت سرمایه‌ش متوسط تولیدی به حرارت ورودی به سیستم است که بر اساس رابطه زیر تعریف می‌شود.

$$\text{COP} = \frac{\dot{Q}_e}{\dot{Q}_h} \quad (12)$$

که در آن:

$$\dot{Q}_h = \frac{\int_0^{t_{cycle}} \dot{m}_{hw} c_{pw} (T_{hin} - T_{hout}) dt}{t_{cycle}} \quad (13)$$

- محاسبه کسر خورشیدی^۱ سیستم

کسر خورشیدی بیانگر نسبت حرارت تامین‌شده از کلکتورهای خورشیدی به کل حرارت مورد نیاز چیلر است و از رابطه (۱۴) به‌دست می‌آید.

$$\text{SF} = \frac{\dot{Q}_{coll}}{\dot{Q}_{coll} + \dot{Q}_{aux}} \quad (14)$$

۴-۲ مدلسازی بخش خورشیدی سیستم

اجزای اصلی مدار تامین آب گرم مورد نیاز چیلر جذب سطحی عبارت‌اند از: کلکتور خورشیدی، مخزن ذخیره و گرم‌کن کمکی. سطح کلکتور خورشیدی، نوع آن و همچنین حجم مخزن آب گرم پارامترهای مهمی در عملکرد سیستم سرمایه‌ش خورشیدی هستند.

انتخاب نوع کلکتور بستگی به دمای آب گرم مصرفی در محفظه‌های جذب دارد. از آنجا که دمای آب گرم مورد استفاده برای فرایند احیای سیلیکاژل معمولاً بین ۵۵ تا ۹۰°C است، از کلکتورهای لوله خلاً برای این سیستم‌ها استفاده می‌شود.

مخزن ذخیره آب گرم قسمت مهم دیگر سیستم است. حرارت تامین‌شده توسط انرژی تابشی خورشید همواره با حرارت مصرفی چیلر همزمان نیستند. به همین دلیل، حرارت اضافه تولیدشده در کلکتور باید برای استفاده بعدی ذخیره شود.

1. Solar fraction

2. Hottel-Whillier-Bliss
3. Sky clearness index
4. Collares-Pereira-Rabl

$$F_i^c = \begin{cases} 1 & \text{if } i = 1 \text{ and } T_{co} > T_i \\ 1 & \text{if } T_{i-1} \geq T_{co} > T_i \\ 0 & \text{if } i = 0 \text{ or } i = 4 \\ 0 & \text{otherwise} \end{cases} \quad (31)$$

$$F_i^l = \begin{cases} 1 & \text{if } i = 3 \text{ and } T_{lr} < T_N \\ 1 & \text{if } T_{i-1} \geq T_{lr} > T_i \\ 0 & \text{if } i = 0 \text{ or } i = 4 \\ 0 & \text{otherwise} \end{cases} \quad (32)$$

جریان خالص بین گره $i-1$ و i ($\dot{m}_{m,i}$) نیز به کمک رابطه (۳۳) به دست می‌آید.

$$\dot{m}_{m,i} = \dot{m}_{co} \sum_{j=1}^{i-1} F_j^c - \dot{m}_{lr} \sum_{j=i+1}^3 F_j^l \quad (33)$$

حرارتی که در هر لحظه باید توسط گرم‌کن کمکی تامین شود تا دمای آب به مقدار تعیین شده برای عملکرد چیلر برسد از رابطه (۳۴) محاسبه می‌شود.

$$Q_{aux} = \dot{m}_{lr} \cdot c_{pw} \cdot (T_{auxh,out} - T_{auxh,in}) \quad (34)$$

در مواقعی که دمای مخزن از دمای خروجی کلکتور کمتر است، جریان یافتن آب از مخزن ذخیره به سمت کلکتورها منجر به اتلاف حرارت و کاهش کارایی سیستم می‌شود. به همین دلیل، سیستم کنترلی به نحوی طراحی می‌شود که در چنین مواقعی پمپ مدار کلکتور قطع شود. همچنین، در مواقعی که دمای بالاترین گره مخزن ذخیره از دمای مورد نیاز در چیلر بیشتر باشد، جریان آب به کلکتور قطع می‌شود و زمانی که این دما برابر و یا کمتر از دمای مورد نیاز در چیلر شد، جریان برقرار می‌شود. این موارد در مدلسازی سیکل نیز در نظر گرفته می‌شود.

۵- مشخصات سیکل تبرید جذب سطحی نمونه

مورد بررسی

به کمک مدل به دست آمده، عملکرد یک سیستم تبرید جذب سطحی نمونه در شرایط آب و هوایی شهر اهواز بررسی می‌شود. مقادیر تابش متوسط، ضریب صافی آسمان و دمای روزانه از اطلاعات موجود در مرجع [۱۸] برای سال ۲۰۰۵ میلادی استخراج می‌شود. فضای مورد نظر برای سرمایه‌گذاری در این نمونه یک فضای اداری شامل دو اتاق هر یک به مساحت $26m^2$ و ارتفاع $2.7m$ است که سیستم تهویه آن در ساعات اداری، یعنی از ۸ صبح تا ۶ بعد از ظهر، کار می‌کند. حداکثر بار سرمایی برای

$$r_d = \frac{\pi}{24} \times \frac{\cos \omega - \cos \omega_s}{\sin \omega_s - \pi \frac{\omega_s}{180} \cos \omega_s} \quad (22)$$

$$I_b = I - I_d \quad (23)$$

که در آن:

$$\omega_s = \arccos(-\tan(\lambda) \tan(\delta)) \quad (24)$$

$$\delta = 0.409 \sin(2\pi/365 n - 1.39) \quad (25)$$

با مشخص شدن I_b و I_d برای یک سطح افقی در هر ساعت می‌توان میزان تابش کل روی سطح مایل با زاویه β را محاسبه کرد. برای این منظور، ضریب R_b (نسبت تابش مستقیم روی سطح مایل به تابش مستقیم روی سطح افقی) طبق رابطه زیر تعریف می‌شود [۱۹].

$$R_b = \frac{I_{bT}}{I_b} = \frac{\cos(\theta)}{\cos(\theta_z)} \quad (26)$$

θ برای سطحی که با افق زاویه β دارد به وسیله رابطه (۲۳) بیان می‌گردد [۱۹].

$$\cos \theta = \sin \delta \sin \lambda \cos \beta - \sin \delta \cos \lambda \sin \beta + \cos \delta \cos \lambda \cos \beta \cos \omega + \cos \delta \sin \lambda \sin \beta \cos \omega \quad (27)$$

$$\cos \theta_z = \cos \delta \cos \lambda \cos \omega + \sin \lambda \sin \delta \quad (28)$$

بنابراین کل تابش روی سطح کلکتوری با زاویه β از رابطه زیر به دست می‌آید.

$$I_T = R_b I_b + I_d \left(\frac{1 - \cos \beta}{2} \right) + I \rho_s \left(\frac{1 - \cos \beta}{2} \right) \quad (29)$$

ρ_s در محاسبات برابر مقدار ثابت 0.15 فرض می‌شود [۱۹].

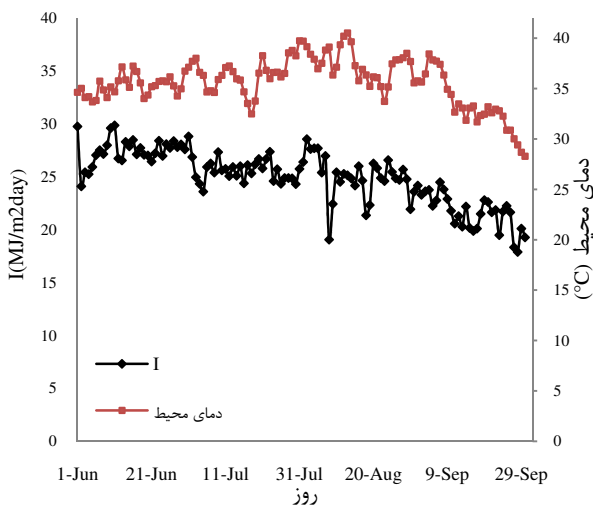
۴-۲- مخزن ذخیره آب گرم

مخزن ذخیره به عنوان واسطه میان محفظه جذب و کلکتور عمل کرده و عملکرد سیستم را یکنواخت می‌کند. دمای آب موجود در مخزن ذخیره معمولاً در زمان کارکرد یکنواخت نیست و دمای آب از بالا به پایین مخزن کم می‌شود. در این مدلسازی، مخزن ذخیره به ۳ لایه تقسیم‌بندی شده و دمای سیال در هر لایه یکسان فرض می‌شود. رابطه تعادل انرژی برای لایه i مطابق زیر است [۱].

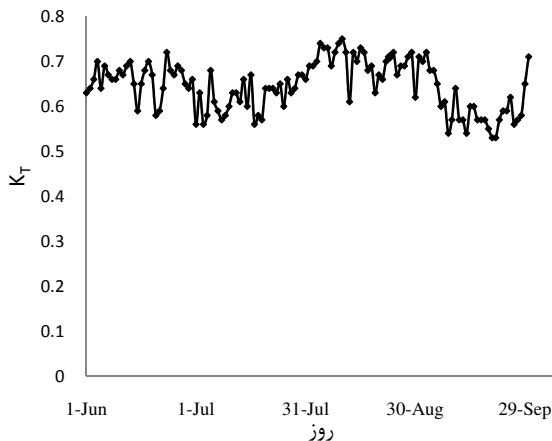
$$M_i c_{pw} \frac{dT_i}{dt} = F_i^c \dot{m}_{co} c_{pw} (T_{co} - T_i) + F_i^l \dot{m}_{lr} c_{pw} (T_{lr} - T_i) + UA_i (T_0 - T_i) + \begin{cases} \dot{m}_{m,i} c_{pw} (T_{i-1} - T_i) & \text{if } \dot{m}_{m,i} > 0 \\ \dot{m}_{m,i+1} c_{pw} (T_i - T_{i+1}) & \text{if } \dot{m}_{m,i+1} < 0 \end{cases} \quad (30)$$

توابع F_i^c و F_i^l به کمک روابط (۳۱) و (۳۳) تعریف می‌شوند.

برای مدلسازی بخش خورشیدی سیستم، مقادیر تابش روی سطح کلکتور در هر ساعت برای کل مدت کارکرد سیستم، مشخصات مخزن ذخیره آب گرم و کلکتور مورد نیاز است. مقادیر تابش متوسط روزانه و K_T برای شهر اهواز در ماه‌های ژوئن، جولای، آگوست و سپتامبر در شکل ۲ و ۳ آمده است. همچنین نمودار دمای متوسط محیط نیز در شکل ۲ مشخص شده است [۱۸].



شکل ۲ متوسط تابش و دمای متوسط روزانه در اهواز



شکل ۳ متوسط ضریب صافی روزانه آسمان

مقدار پیش‌فرض برای سطح کلکتورها در این مدلسازی از رابطه زیر به‌دست می‌آید.

$$A_c = \frac{Q_h}{\eta_{sc} G_{\perp}} \quad (35)$$

η_{sc} در این رابطه به طور متوسط برابر ۵۰ درصد و G_{\perp} (تابش بر روی سطح کلکتور) برابر مقدار متوسط تابش در شهر

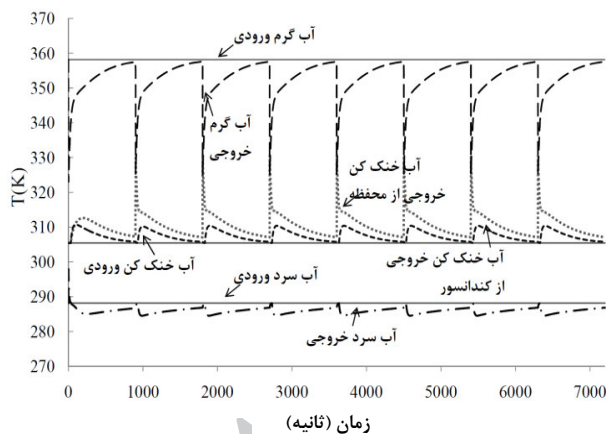
فضاهای اداری در مناطقی با شرایط آب و هوایی مشابه اهواز $67/3 \text{ W/m}^3$ در نظر گرفته می‌شود [۲]. شایان ذکر است در این مطالعه فرض بر این است که در فضای مورد سرمایه‌گذاری سیستم BMS^۱ استفاده نمی‌شود؛ بنابراین بار سرمایی فضای مورد بررسی برابر مقدار متوسط $8/7 \text{ kW}$ می‌باشد. به دلیل در دسترس نبودن نمونه چیلر جذب سطحی و عدم امکان ساخت آن، در این مدلسازی مشخصات محفظه‌های جذب و مبدل‌های استفاده‌شده به عنوان اواپراتور و کندانسور از مشخصات چیلر جذب سطحی طراحی‌شده در انستیتو تبرید و سرمایه‌گذاری عمیق شانگهای [۳] استفاده می‌شود. این چیلر دارای دو محفظه جذب است و در آن از سیلیکاژل به عنوان جاذب و آب به عنوان مبرد استفاده شده است. زمان سیکل در این مدلسازی برابر ۱۸۰۰ ثانیه و زمان سوئیچ کردن بین محفظه‌ها (پیش‌گرم و پیش‌سرد کردن) برابر ۳۰ ثانیه فرض می‌شود. به کمک کد نوشته‌شده در متلب معادلات دیفرانسیلی مدل ریاضی به‌دست آمده برای سیستم از روش عددی رانج-کوتای صریح حل شده و مقادیر دمای خروجی آب خنک‌کننده محفظه‌ها و کندانسور، آب سرد، آب گرم و همچنین دمای هر یک از محفظه‌ها، اواپراتور و کندانسور طی زمان کارکرد چیلر محاسبه می‌شود. پارامترهای استفاده‌شده در مدلسازی چیلر در جدول ۱ آمده است.

جدول ۱ مقادیر پارامترهای مورد استفاده در مدلسازی چیلر

نام متغیر	مقدار	نام متغیر	مقدار
m_a	۵۰ kg	$UA_{heating}$	۳۵۷۰ W/K
ΔH_{ads}	۲۸۰۰ kJ/kg	$UA_{cooling}$	۳۲۹۰ W/K
L	۲۵۰۰ kJ/kg	m_{ad}	۳۲/۷ kg
M_c	۱۵/۲ kg	\dot{m}_{hw}	۰/۷۸ kg/s
M_e	۶۵/۱ kg	\dot{m}_{cw}	۱/۲ kg/s
c_{cu}	۰/۳۸۶ kJ/kgK	\dot{m}_{chw}	۱ kg/s
c_{pwv}	۱/۸۵ kJ/kgK	T_{chin}	۱۵ °C
c_{al}	۰/۹۰۵ kJ/kgK	T_{cin}	۳۲/۳ °C
c_a	۰/۹۲۴ kJ/kgK	T_{hin}	۸۵ °C
c_{pw}	۴/۱۸ kJ/kgK	D_{s0}	$2/54E-4 \text{ m}^2/\text{s}$
M_{w0}	۱۰ kg	R_p	۱/۷E-۴ m
UA_e	۳۴۲۰ W/K	E_a	۴/۲E۴ J/mol
UA_c	۶۰۹۰ W/K	F_0	۱۵

1. Building Management System

آمده است. مقادیر ذکر شده برای این پارامترها مقدار متوسط آنها هستند که از روابط (۱۲)، (۱۳) و (۱۴) محاسبه می‌شوند. در شکل ۵ تغییرات دمای خروجی آب گرم، خنک‌کن و آب سرد خروجی از اواپراتور نشان داده شده است. در مدلسازی، زمان سیکل برابر ۱۸۰۰ ثانیه و زمان پیش‌گرم/پیش‌سرد کردن محفظه‌ها ۳۰ ثانیه در نظر گرفته می‌شود. مطابق نمودار، دمای خروجی آب گرم در پایان مرحله احیا $0/5^{\circ}\text{C}$ کمتر از دمای ورود آب گرم و دمای خروجی آب خنک‌کن نیز، در پایان مرحله جذب، $1/5^{\circ}\text{C}$ از دمای ورودی آب خنک‌کن بیشتر است. به دلیل اینکه آب خنک‌کن ابتدا وارد کندانسور شده و سپس وارد محفظه جذب می‌شود، دمای خروجی آب از محفظه همواره بیشتر از دمای خروجی آب از کندانسور است. دمای آب خنک‌کن، در خروج از کندانسور در پایان مرحله احیا در محفظه گرم، به دمای ورودی آب خنک‌کن می‌رسد؛ یعنی، در این مرحله سیکل، حرارتی از کندانسور دفع نمی‌شود.



شکل ۵ نمودار دمای آب گرم، آب خنک‌کن و آب سرد

دمای خروجی آب سرد از اواپراتور در پایان مرحله جذب، در هر محفظه، برابر $11/9^{\circ}\text{C}$ می‌شود و در پایان مرحله پیش‌گرم/پیش‌سرد کردن محفظه‌ها، این دما با دمای ورودی آب سرد برابر می‌شود. بنابراین توان تبرید سیستم طی این مرحله برابر صفر بوده و در شروع فرایند جذب سطحی در هر محفظه به مقدار بیشینه خود می‌رسد.

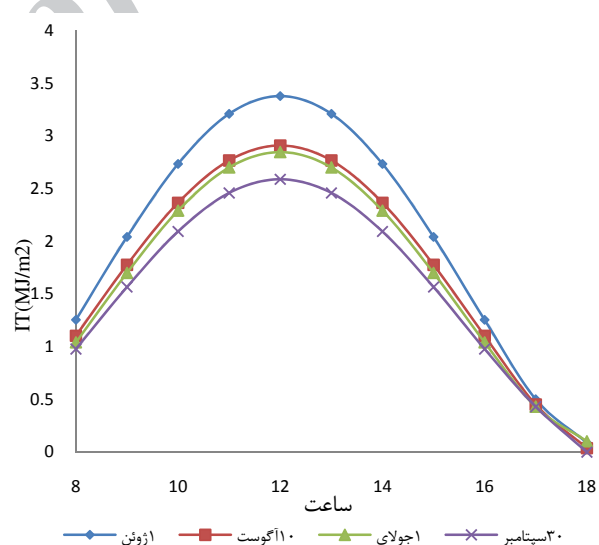
شکل ۶ نمودار P-T سیکل مورد بررسی را نشان می‌دهد. خطوط مایل رسم شده در این نمودار خطوط x ثابت هستند. همان‌طور که مشاهده می‌شود، فشار محفظه‌ها در زمان اتصال به اواپراتور و کندانسور متغیر است که این مسئله موجب

اهواز یعنی $0/4\text{kW/m}^2$ فرض می‌شود. بنابراین مساحت کلکتور مورد نیاز سیستم برابر 55 m^2 به دست می‌آید. حجم منبع ذخیره طبق توصیه [۲] برابر ۵۰ لیتر به ازای هر متر مربع کلکتور انتخاب می‌شود؛ بنابراین حجم منبع برابر ۲۷۵۰ لیتر خواهد بود. بازده گرم‌کن کمکی نیز برابر $0/8$ فرض شده است [۳]. همچنین، با توجه به این که مکان قرارگیری سیستم در نیمکره شمالی قرار دارد، زاویه بهینه کلکتور با افق برابر 45° و جهت آن رو به جنوب می‌باشد [۴]. مقدار $F_R(\tau \times \theta)$ نیز برابر $0/771$ و $F_R U_L$ برابر $4/236$ فرض می‌شود.

۶- نتایج

۶-۱- مقدار تابش در هر ساعت

مقادیر تابش برای سطح کلکتور با زاویه 45° در شهر اهواز محاسبه شده و برای ساعات کارکرد سیستم، در چند روز منتخب، به عنوان نمونه در شکل ۴ آمده است.



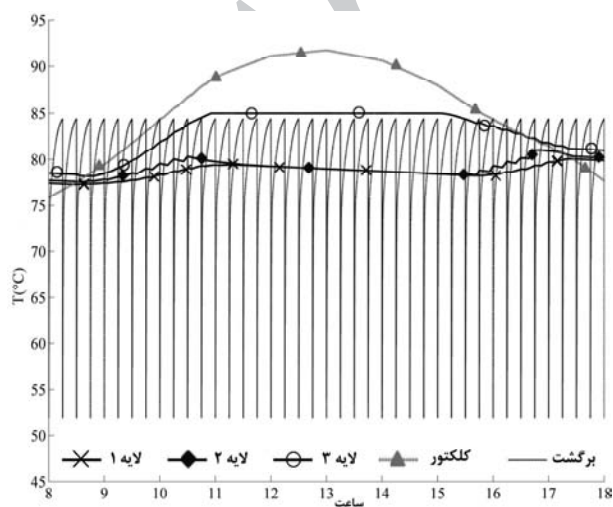
شکل ۴ تابش در روزهای نمونه

۶-۲- نتایج مدلسازی چیلر جذب سطحی

ضریب عملکرد چیلر نمونه برابر $0/575$ ، توان تبرید متوسط آن برابر $8/84$ کیلووات و توان متوسط حرارتی مورد نیاز برابر $15/39$ کیلووات محاسبه می‌شود. توجه به این نکته ضروری است که این پارامترها، به دلیل نوسانی بودن طبیعت کارکرد چیلر جذب سطحی، نوسانی هستند و تغییرات آنها مشابه تغییرات دماهای آب گرم و سرد است که در نمودار شکل ۵

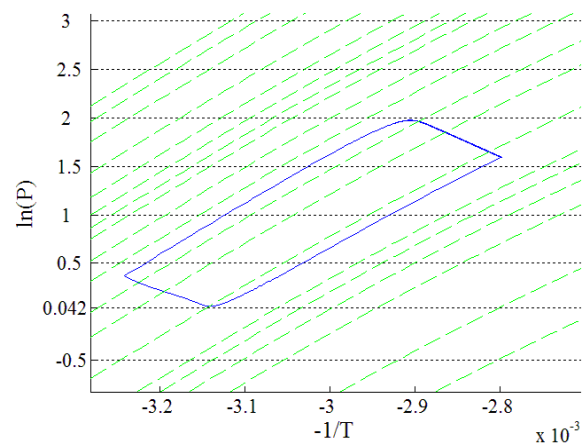
سیستم در هر روز به دست می‌آید. کل حرارت تامین شده توسط گرم‌کن کمکی، در مدت ۱۲۲ روز کارکرد سیستم، برابر ۲۸۰۴۷ مگاژول است که معادل ۹۸۸ متر مکعب گاز طبیعی است. کل حرارت مصرفی چیلر در بازه مورد بررسی نیز برابر ۶۷۷۶۸ مگاژول است.

نتایج محاسبات انجام شده برای روز ۱۰ آگوست به عنوان نمونه در نمودارهای شکل ۸ تا ۱۲ آمده است. دمای گره‌های مخزن در شروع به کار سیستم در هر روز، به کمک کد نوشته شده، محاسبه می‌شود. برای روز ۱۰ آگوست، دمای بالاترین گره در شروع به کار سیستم برابر 79°C ، گره میانی برابر $78/2^{\circ}\text{C}$ و گره پایین برابر $77/9^{\circ}\text{C}$ به دست می‌آید. نمودار شکل ۸ تغییرات دمای گره‌های مخزن، دمای آب خروجی از کلکتور و دمای آب برگشتی از چیلر را در ساعات مختلف این روز نشان می‌دهد. گره بالایی بیشترین و گره پایینی کمترین دما را دارد. مطابق نمودار، دمای آب گرم شده در کلکتور در حدود ساعت ۱۳:۰۰ به مقدار بیشینه 92°C می‌رسد. تناوب در دمای بازگشتی از چیلر منجر به ایجاد نوساناتی در دمای مخزن می‌شود که بیشترین تاثیر آن در دمای گره‌های دوم و سوم دیده می‌شود. بنابراین، مخزن ذخیره تا حد بسیار خوبی نوسانات دمای آب برگشتی را از بین می‌برد. تاثیر این نوسانات، زمانی که دمای بالاترین گره مخزن از دمای برگشت آب چیلر کمتر می‌شود، بیشتر مشخص می‌شود. این مسئله در نمودار شکل ۸ در ساعات بعد از ظهر قابل مشاهده است. مقادیر \dot{Q}_{aux} برای روز ۱۰ آگوست در نمودار شکل ۹ رسم شده است.

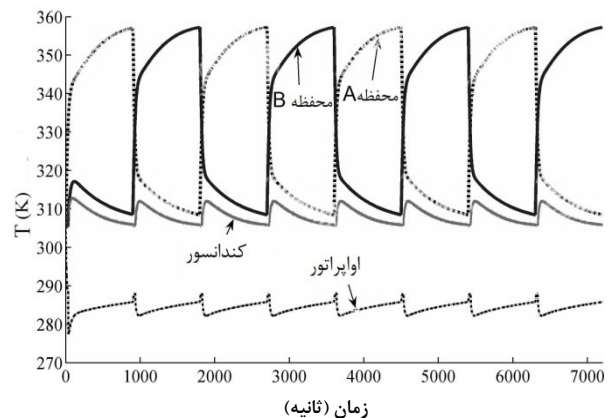


شکل ۸ دمای مخزن ذخیره در روز ۱۰ آگوست

انحنای نمودار در فرایندهای جذب و احیا شده است. دلیل متغیر بودن فشارها، یکنواخت نبودن فرایند جذب سطحی است. شکل ۷ تغییرات دمای هریک از محفظه‌ها، کندانسور و اوپراتور طی زمان را نشان می‌دهد. همان‌طور که در نمودار مشخص است، دمای محفظه گرم در پایان مرحله احیا به $84/15^{\circ}\text{C}$ می‌رسد که این دما بالاترین دمای محفظه‌ها طی این سیکل است. دمای محفظه سرد نیز در پایان مرحله جذب به $35/2^{\circ}\text{C}$ می‌رسد.



شکل ۶ نمودار P-T سیکل جذب سطحی

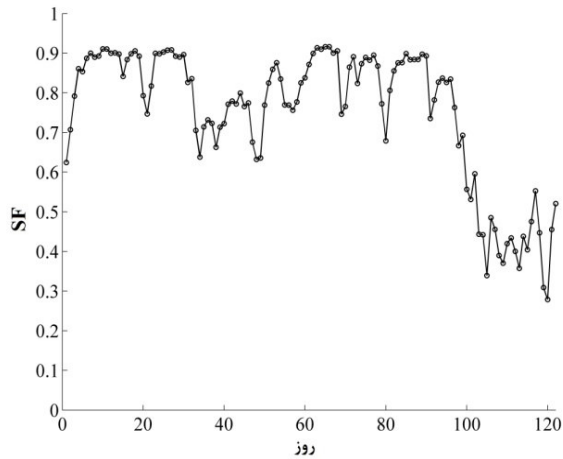


شکل ۷ دمای محفظه‌ها، کندانسور و اوپراتور

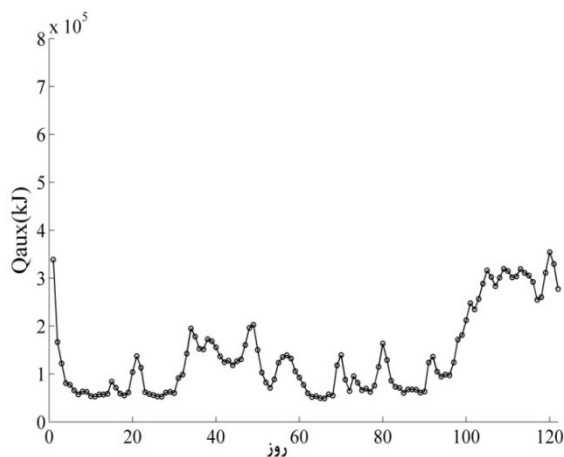
۳-۶- نتایج مدلسازی بخش خورشیدی سیستم

با استفاده از مقادیر محاسبه شده برای تابش در هر ساعت، دمای آب گرم برگشتی از محفظه‌ها و کد نوشته شده در متلب، دمای هر گره مخزن ذخیره، آب گرم شده در کلکتور، نرخ حرارت تامین شده توسط گرم‌کن کمکی، کل حرارت گرم‌کن کمکی در هر روز، مصرف سوخت در هر روز و کسر خورشیدی

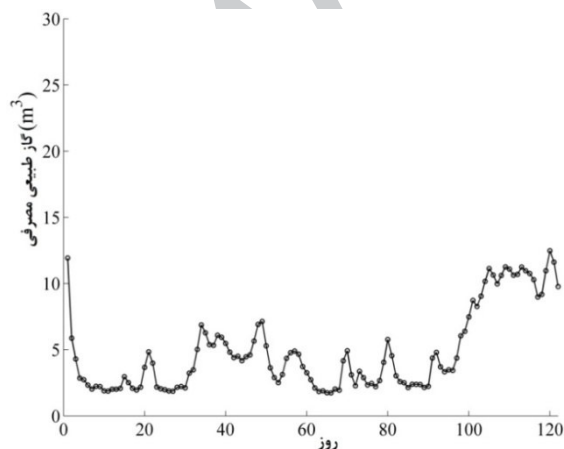
معادل $1/734$ متر مکعب گاز طبیعی است (ارزش حرارتی^۱ گاز طبیعی برابر $35/4816 \text{ MJ/m}^3$ در نظر گرفته شده است) [۲۵].



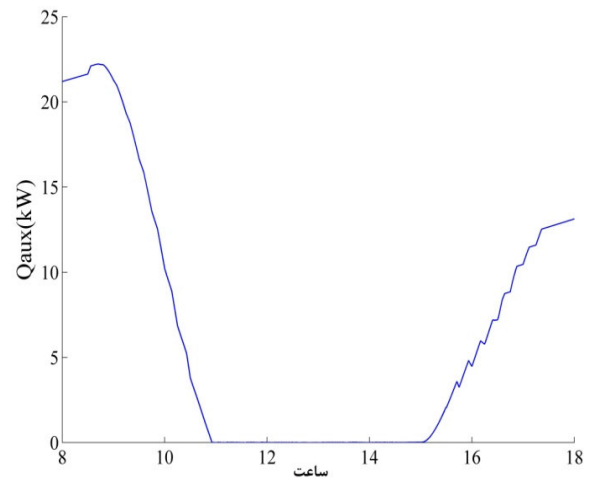
شکل ۱۰ کسر خورشیدی سیستم



شکل ۱۱ حرارت تامین شده توسط گرم کن کمکی



شکل ۱۲ مصرف سوخت گرم کن کمکی



شکل ۹ حرارت اعمال شده توسط گرم کن کمکی در روز ۱۰ آگوست

همان طور که از شکل مشخص است، در شروع کار چیلر در ۸ ساعت صبح ابتدا حرارت افزایش می یابد. دلیل این افزایش این است که در ساعات اولیه صبح میزان تابش کمتر است و در اثر جریان یافتن آب به درون کلکتور دمای آب، به جای افزایش، به دلیل تبادل حرارتی با محیط، مقداری نیز کاهش می یابد. اما با گذشت زمان و با افزایش میزان تابش، در ساعت $8:43$ حرارت تامین شده توسط گرم کن شروع به کاهش می نماید تا اینکه در ساعت $10:55$ این حرارت به صفر رسیده و تا ساعت $15:00$ به همین مقدار باقی می ماند.

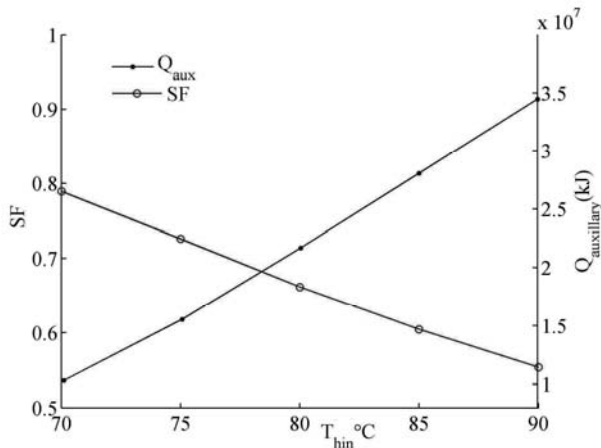
پس از این ساعت و با کاهش مقدار تابش، میزان حرارت گرم کن کمکی نیز مجدداً افزایش می یابد. بنابراین، همانطور که پیش بینی می شد، در ساعاتی که تابش خورشید حداکثر است انرژی خورشیدی کل حرارت مورد نیاز چیلر را تامین می نماید. تاثیر نوسانات موجود در پروفیل دمای گره بالایی مخزن ذخیره در نمودار حرارت گرم کن کمکی نیز قابل مشاهده است.

در شکل ۱۰، کسر خورشیدی سیستم در هر روز نمایش داده شده است. همان طور که پیش بینی می شد، در روزهای پایانی تابستان، که از شدت تابش خورشید کاسته می شود، کسر خورشیدی به میزان قابل ملاحظه ای کاهش می یابد.

شکل ۱۱ و شکل ۱۲ نشان دهنده مقدار روزانه Q_{aux} و گاز مصرفی گرم کن کمکی در بازه مورد بررسی (اول ژوئن تا ۳۰ سپتامبر) است. مطابق این شکل ها، مقدار Q_{aux} در روز ۵ آگوست کمترین مقدار را دارد و برابر $61/52$ مگاژول است که

1. Lower heating value

شده توسط گرم‌کن کمکی در طول یک سال نسبت به تغییرات دمای آب گرم در شکل ۱۴ آمده است.



شکل ۱۴ تغییرات کسر خورشیدی و حرارت تامین‌شده سالانه توسط گرم‌کن کمکی با افزایش دمای آب گرم ورودی به چیلر (زمان سیکل: ۱۸۰۰S)

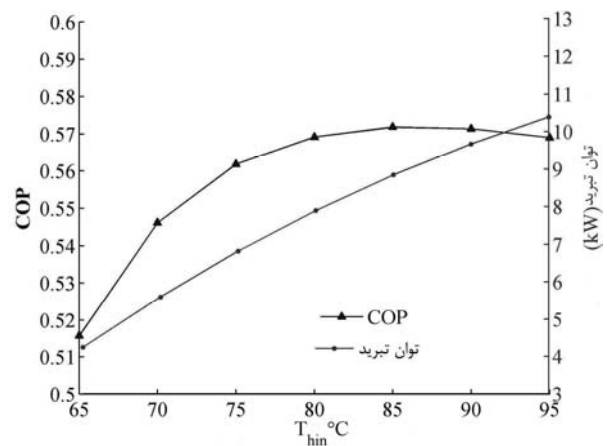
۶-۵- بررسی تاثیر زمان سیکل بر عملکرد سیستم

نمودار شکل ۱۵ تغییرات ضریب عملکرد و توان تبرید را با افزایش زمان سیکل نشان می‌دهد. در این نمودار، دمای ورودی آب گرم برابر مقدار ثابت 85°C در نظر گرفته شده است. مطابق نمودار شکل ۵، دمای ورود و خروج آب سرد در اواپراتور در انتهای مرحله جذب/احیا تقریباً برابر بوده و توان تبرید در این زمان حداقل است. بنابراین، هرچه زمان سیکل افزایش یابد، مدت زمانی که توان تبرید نزدیک به صفر است افزایش می‌یابد. به همین دلیل، افزایش زمان سیکل به مدت ۹۰۰ ثانیه موجب افزایش بسیار کم صورت کسر رابطه (۱۱) می‌شود، اما در عین حال به مخرج کسر ۹۰۰ ثانیه می‌افزاید. همین مسئله منجر به کاهش توان تبرید سیستم می‌شود. روند کاهش توان تبرید در شکل ۱۵ مشخص است.

با افزایش زمان اعمال حرارت به محفظه‌ها، اختلاف دمای آب گرم ورودی و خروجی محفظه کاهش یافته و موجب کاهش توان حرارتی مورد نیاز چیلر می‌شود. به دلیل اینکه کاهش توان حرارتی بیشتر از کاهش توان تبرید است، ضریب عملکرد سیستم در اثر افزایش زمان سیکل افزایش می‌یابد. البته با افزایش هر چه بیشتر زمان سیکل، شیب افزایش ضریب عملکرد کاهش می‌یابد، اما این شیب هیچ‌گاه به صفر نمی‌رسد.

۶-۴- تاثیر دمای آب گرم ورودی بر عملکرد سیستم

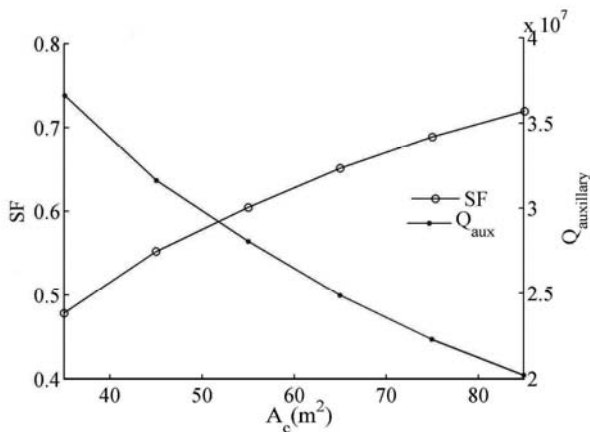
آب گرم به منزله محرک سیکل تبرید جذب سطحی محسوب می‌شود و نقشی مشابه انرژی الکتریکی در سیکل‌های تبرید تراکمی دارد. به همین دلیل، بررسی تاثیر دمای آب گرم بر پارامترهای کارکرد سیستم دیدگاه دقیق‌تری نسبت به عملکرد سیکل جذب سطحی و انتخاب منبع حرارتی مناسب ایجاد می‌نماید. نمودار شکل ۱۳ روند تغییرات توان تبرید و ضریب عملکرد نسبت به دمای آب گرم را نشان می‌دهد. مطابق نمودار، افزایش دمای آب گرم موجب افزایش توان تبرید سیکل می‌شود. همچنین، با افزایش دمای آب گرم از 65°C تا 85°C ، ضریب عملکرد سیکل تبرید افزایش می‌یابد و در 85°C به مقدار بیشینه 0.575 می‌رسد، ولی افزایش بیشتر دما منجر به کاهش ضریب عملکرد سیکل می‌شود. دلیل این مسئله این است که با افزایش دمای آب گرم، حرارت ورودی به سیستم افزایش می‌یابد و در عین حال توان تبرید نیز افزایش می‌یابد. در دماهای کمتر از 85°C ، افزایش توان تبرید بیشتر از افزایش حرارت اعمال‌شده است، ولی در دماهای بالاتر، افزایش حرارت بر افزایش توان تبرید غلبه نموده و موجب کاهش ضریب عملکرد می‌شود.



شکل ۱۳ تغییرات ضریب عملکرد و توان تبرید با افزایش دمای آب گرم ورودی به چیلر (زمان سیکل: ۱۸۰۰S)

کسر خورشیدی نیز از پارامترهای مهم سیستم است که در اثر تغییر دمای آب گرم ورودی به چیلر تغییر می‌کند. هرچه دمای آب مورد نیاز در چیلر کمتر باشد، کسری از حرارت، که توسط کلکتورها تامین می‌شود، بیشتر است. نمودار تغییرات کسر خورشیدی متوسط سالانه سیستم و کل حرارت تامین

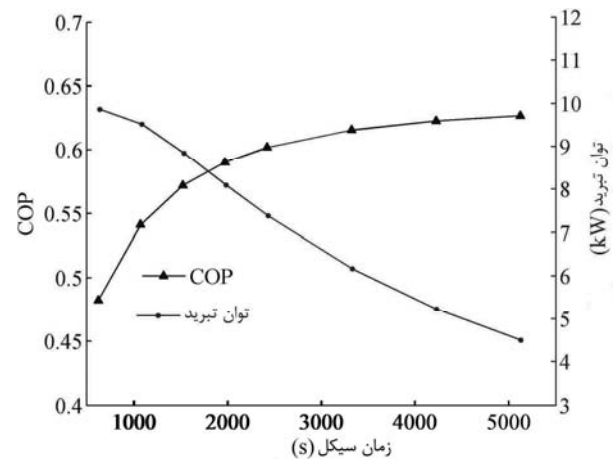
کسر خورشیدی سالانه سیستم و کل حرارت تامین شده سالانه توسط گرم کن کمکی با افزایش مساحت کلکتور خورشیدی بررسی شده است. مطابق این نمودار، با افزایش مساحت کلکتور، حرارت تامین شده توسط گرم کن کمکی کاهش یافته و به تبع آن کسر خورشیدی سیستم افزایش می یابد.



شکل ۱۷ تغییرات کسر خورشیدی و حرارت تامین شده سالانه توسط گرم کن کمکی با افزایش مساحت کلکتور (زمان سیکل: ۱۸۰۰s، دمای آب گرم ورودی: ۸۵°C)

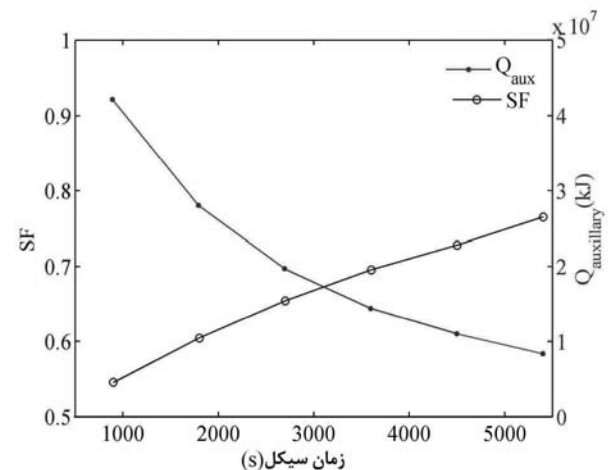
۷- نتیجه و جمع بندی

در این مقاله، روابط ترمودینامیکی متغیر با زمان کارکرد یک سیستم تبرید جذب سطحی خورشیدی استخراج و به کمک این روابط عملکرد یک سیکل نمونه، در شرایط آب و هوایی شهر اهواز، مدلسازی شده است. به کمک این مدل، نمودارهای تغییرات دمای آب گرم، آب خنک کن و آب سرد و همچنین دماهای محفظه ها، اوپراتور و کندانسور، ضریب عملکرد و توان تبرید سیستم به دست آمده است. نتایج مدلی نشان می دهد ضریب عملکرد این سیستم نمونه برابر ۰/۵۷۵ و توان تبرید آن برابر ۸/۸۴ کیلووات است. عملکرد بخش خورشیدی سیستم، که وظیفه تامین آب گرم مورد نیاز در محفظه ها را بر عهده دارد، با توجه به تغییرات میزان تابش، برای بازه زمانی اول ژوئن تا ۳۰ سپتامبر، مدلسازی شده و میزان مصرف سوخت گرم کن کمکی و کسر خورشیدی سیستم محاسبه شده است. نتایج نشان می دهد کمترین مصرف سوخت مربوط به روز ۵ آگوست و برابر ۱/۷۳۴ مترمکعب گاز طبیعی در طول روز و بیشترین مصرف مربوط به ۲۸ سپتامبر و برابر ۱۲/۴۸ متر مکعب گاز است. علاوه بر مدلسازی سیستم، تاثیر تغییرات پارامترهای



شکل ۱۵ تغییرات توان تبرید و ضریب عملکرد با افزایش زمان سیکل (دمای آب گرم ورودی: ۸۵°C)

شکل ۱۶ روند تغییرات کسر خورشیدی متوسط سالانه سیستم و کل حرارت سالانه تامین شده توسط گرم کن کمکی با تغییرات زمان سیکل کاری چیلر را نشان می دهد. افزایش زمان سیکل موجب کاهش توان حرارتی مورد نیاز در چیلر جذب سطحی و نتیجتاً کاهش حرارت گرم کن کمکی می شود. همین مسئله موجب افزایش کسر خورشیدی سالانه سیستم می شود.



شکل ۱۶ تغییرات کسر خورشیدی و حرارت تامین شده سالانه توسط گرم کن کمکی با افزایش زمان سیکل (دمای آب گرم ورودی: ۸۵°C)

۶-۶ بررسی تاثیر مساحت کلکتور بر عملکرد سیستم

علاوه بر زمان سیکل و دمای آب گرم ورودی، عامل دیگری که تاثیر قابل توجهی بر کسر خورشیدی و حرارت گرم کن کمکی دارد مساحت کلکتور خورشیدی است. در شکل ۱۷، تغییرات

زمان طلوع خورشید	sr	مختلف طراحی سیستم از جمله دمای آب گرم ورودی به چیلر،
دما (K)	T	زمان سیکل کاری و مساحت کلکتور در عملکرد سیستم بررسی
دمای محیط (K)	T_0	شده است. نتایج نشان می‌دهد افزایش دمای آب گرم تا 85°C
زمان (s)	t	موجب افزایش ضریب عملکرد سیستم شده، ولی افزایش دما
ضریب انتقال حرارت کلی (kW/Km^2)	U	بیشتر از این مقدار موجب کاهش ضریب عملکرد می‌شود.
نسبت جرم مبرد جذب شده به جرم جاذب (kg/kg)	x	همچنین، با افزایش دمای آب گرم ورودی، توان تبرید و حرارت
نسبت جرم مبرد جذب شده به جرم جاذب در حالت تعادل (kg/kg)	x^*	گرم کن کمکی افزایش یافته ولی کسر خورشیدی سیستم کاهش می‌یابد. بررسی تاثیر زمان سیکل بر عملکرد سیستم نشان می‌دهد افزایش زمان سیکل موجب افزایش ضریب عملکرد، کاهش توان تبرید، کاهش حرارت تامین شده توسط گرم کن کمکی و نتیجتاً افزایش کسر خورشیدی می‌شود.

علائم یونانی

ضریب جذب صفحه جاذب کلکتور	α
زاویه میل (rad)	δ
بازده	η
زاویه برخورد (rad)	θ
زاویه سمت‌الراس (rad)	θ_z
زاویه عرض جغرافیایی (rad)	λ
ضریب عبور پوشش کلکتور	τ
زاویه ساعت (rad)	ω
ضریب انعکاس محیط	ρ_s

زیرنویس

جاذب	a
محفظه جذب	ad
جذب سطحی	ads
آلومینیوم	al
مستقیم	b
کندانسور، کلکتور	c
آب خنک کن کندانسور	ccw
آب سرد	chw
مس	cu
آب خنک کن	cw
پراکنده	d
احیا	des
اواپراتور	e
گاز	g
آب گرم	hw
ورودی	in
برگشتی از چیلر	lr

بررسی‌های انجام شده در این مقاله نشان می‌دهد سیستم تبرید جذب سطحی اگرچه در مقایسه با سیستم های تبرید تراکمی رایج از ضریب عملکرد پایین تری برخوردار است، اما می‌توان با ایجاد تغییرات اندک در پارامترهای کارکرد سیستم مانند دماها و زمان سیکل، کارایی آن را بهبود بخشید. از آنجا که در کشور ما به خصوص در مناطقی مانند شهر اهواز پتانسیل بالایی برای استفاده از انرژی خورشیدی وجود دارد، استفاده از فناوری‌های نوین سرمایشی مانند سیستم‌های جذب سطحی خورشیدی می‌تواند راهکار مناسبی در کاهش مصرف سوخت‌های فسیلی باشد.

۸- فهرست علائم

A	مساحت (m^2)
c_p	حرارت ویژه (kJ/kgK)
D_{s0}	دیفیوژن سطحی (m^2/s)
E_a	انرژی فعالساز (J/kg)
F_R	ضریب انتقال حرارت کلکتور
H	متوسط تابش در هر روز روی سطح افقی (W/m^2)
I	تابش در هر ساعت (W/m^2)
L	گرمای نهان تبخیر (kJ/kg)
M, m	جرم (kg)
\dot{m}	دبی جرمی (kg/s)
P	فشار (kPa)
R	ثابت جهانی گازها (J/kgK)
R_p	شعاع ذرات جاذب (m)
ss	زمان غروب خورشید

- خروجی out
کلکتور خورشیدی sc
آب w
بخار آب ww
- ۹- مراجع
- [12] Pons M., Guillemint J. J., "Design of an Experimental Solar Powered Solid Adsorption Ice Maker", *Journal of Solar Energy Engineering-Transactions of the ASME*, Vol. 108, No. 4, 1986, pp. 332-337.
- [13] Grenier Ph., Guillemint J. J., Meunier F., Pons M., "Solar Powered Solid Adsorption Cold Store", *Journal of Solar Energy Engineering*, Vol. 110, 1988, pp. 192-197.
- [14] Jing Yi W., Sheng L., Yan Fei H., "Study on Cyclic Characteristics of the Solar-Powered Adsorption Cooling System", *Science in China Series E: Technological Sciences*, Vol. 52, No. 6, 2009, pp. 1551-1562.
- [15] Guillemint J. J., Poyelle F., Meunier F., "Experimental Results and Modeling Tests of an Adsorptive Air-Conditioning Unit", *ASHRAE Transactions*, Vol. 104, 1998, pp. 1543-1551.
- [16] Boelman E. C., "Computer Simulation of a Silica Gel-Water Adsorption Refrigeration Cycle- The Influence of Operating Conditions of Cooling Output and COP", *ASHARE Transactions*, Vol. 101, 1995, pp. 348-355.
- [17] ASHRAE Handbook- HVAC Applications American Society of Heating, Refrigeration and Air Conditioning Engineers, Atlanta, 2007.
- [18] Iran Metrological Organization, <http://www.irimo.ir>
- [19] Duffie J. A., Beckman W. A., *Solar Engineering of Thermal Process*, 2nd Edition, University of Wisconsin, Madison, Wiley Interscience Publications, 1980.
- [20] Alipour V., "A Test Reference Year for Ahvaz, Iran", Master of Philosophy Thesis, University of Manchester, 2011.
- [21] Joudi K. A., Q. J. Abdul-Ghafour, "Development of Design Charts For Solar Cooling Systems. Part I: Computer Simulation for a Solar Cooling System and Development of Solar Cooling Design Charts", *Energy Conversion and Management*, Vol. 44, 2003, pp. 313-339.
- [22] Calise F., Dentice d'Accadia M., Vanoli L., "Thermoeconomic Optimization of Solar Heating and Cooling Systems", *Energy Conversion and Management*, Vol. 52, 2011, pp. 1562-1573.
- [23] Mazloumi M., Naghazadegan M., Javaherdeh K., "Simulation of Solar Lithium Bromide-Water Absorption Cooling System with Parabolic trough Collector", *Energy Conversion and Management*, Vol. 49, 2008, pp. 2820-2832.
- [24] Gunerhan H., Hepbasli A., "Determination of the Optimum Tilt Angle of Solar Collectors for Building Applications", *Building and Environment*, Vol. 42, 2007, pp. 779-783.
- [۲۵] صدرنژاد سید خطیب‌الاسلام، کرمانپور احمد، سوخت و انرژی، ویرایش اول، تهران، انتشارات دانشگاه صنعتی شریف، ۱۳۸۰.
- [1] Saha B. B., El-Sharkawy I. I., Chakraborty A., Koyama S., "Study on an Activated Carbon Fiber Ethanol Adsorption Chiller: Part I- System Description and Modelling" *In International Journal of Refrigeration*, Vol. 30, 2007, pp. 86-95.
- [2] Leite A. P. F., Belo F. A., Martins M. M., Riffel D. B., "Central Air Conditioning Based on Adsorption and Solar Energy", *Applied Thermal Engineering*, Vol. 31, 2011, pp. 50-58.
- [3] Wang D. C., Xia Z. Z., Wu J. Y., Wang R. Z., Zhai H., Dou W. D., "Study of a Novel Silica Gel-Water Adsorption Chiller. Part I. Design and Performance Prediction", *International Journal of Refrigeration*, Vol. 28, 2005, pp. 1073-1083.
- [4] Chua H. T., Ng K. C., Maleka A., Kashiwagi T., Akisawa A., Saha B. B., "Modeling the Performance of Two-Bed, Silica Gel-Water Adsorption Chillers", *International Journal of Refrigeration*, Vol. 22, 1999, pp. 194-204.
- [5] Critoph R. E., "Rapid Cycling Solar/Biomass Powered Adsorption Refrigeration System", *Renewable Energy*, Vol. 16, 1999, pp. 673-678.
- [6] Anyanwu E. E., Ezekwe C. I., "Design Construction and Test Run of a Solid Adsorption Solar Refrigerator using Activated Carbon/Methanol, as Adsorbent/Adsorbate Pair", *Energy Conversion and Management*, Vol. 44, 2003, pp. 2879-2892.
- [7] Lemmini F., Errougani A., "Building and Experimentation of a Solar Powered Adsorption Refrigerator", *Renewable Energy*, Vol. 30, 2005, pp. 1989-2003.
- [8] Wang R. Z., "Adsorption Refrigeration Research in Shanghai Jiao Tong University", *Renewable and Sustainable Energy Reviews*, Vol. 5, No. 1, 2001, pp. 1-37.
- [9] Saha B. B., Akisawa A., Kashiwagi T., "Solar/Waste Heat Driven Two-Stage Adsorption Chiller: The Prototype", *Renewable Energy*, Vol. 23, No. 1, 2001, pp. 93-101.
- [10] Lu Y. Z., Wang R. Z., Zhang M., Jiangzhou S., "Adsorption Cold Storage System With Zeolite-Water Working Pair Used for Locomotive Air Conditioning", *Energy Conversion and Management*, Vol. 44, 2003, pp. 1733-1743.
- [11] Tchernev D. I., *Natural Zeolite: Occurrence, Properties and Use*, Oxford, Pergamon Press, 1978, pp. 479-485.